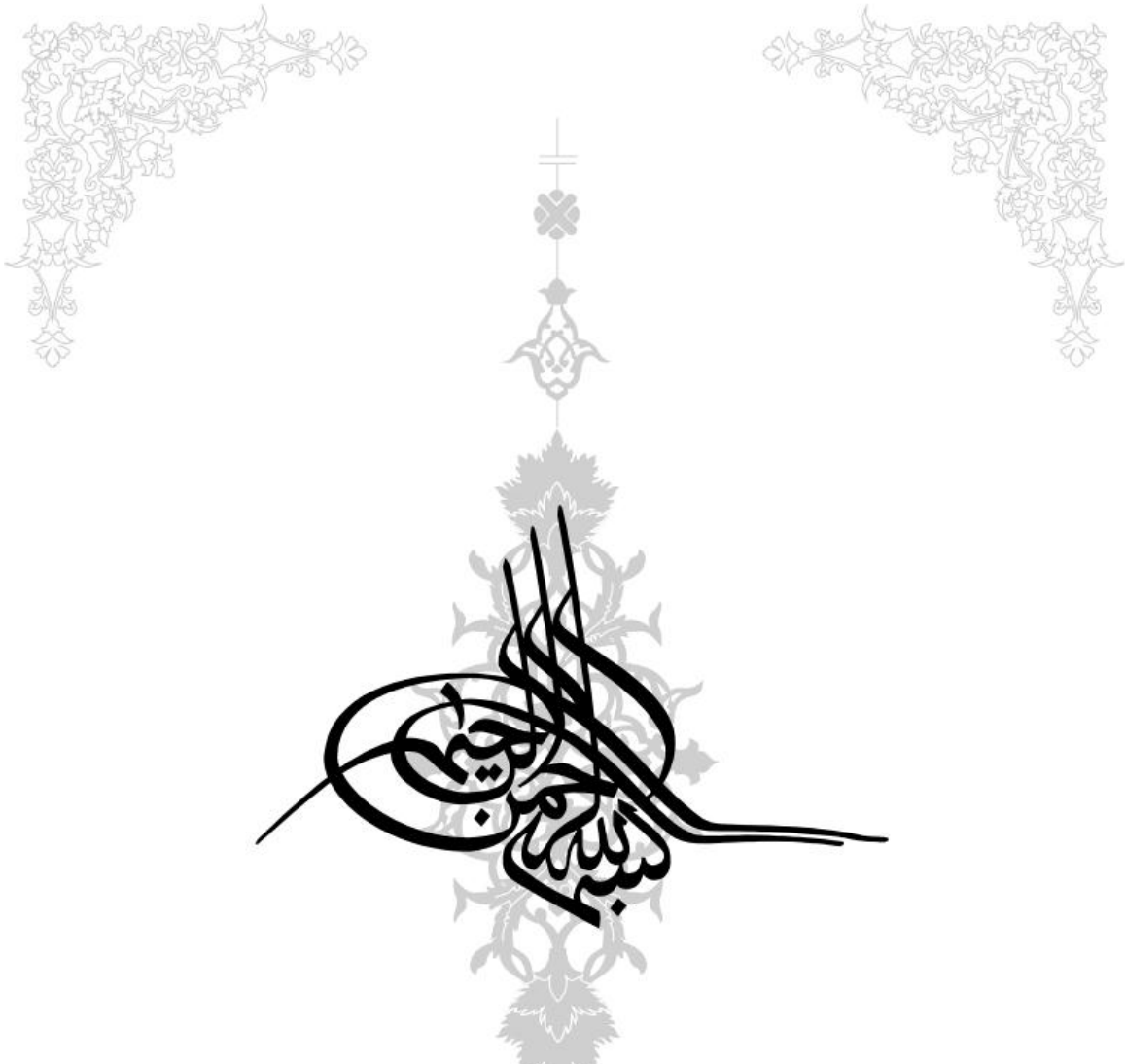


بِسْمِ اللّٰهِ الرَّحْمٰنِ الرَّحِيْمِ





دانشگاه بیرجند

دانشکده علوم

پایان نامه کارشناسی ارشد شیمی فیزیک

بررسی جذب گاز فسیلن بر روی نانولوله‌های آلومنیوم نیترید

استاد راهنما:

دکتر حیدر رئیسی

استاد مشاور:

فریبا ملانیا

نگارش:

مهناز شهابی چشمeh موسی

شهریور ماه ۹۳

فرم شماره ۱۰

صورتجلسه دفاع از مامن نامه کارشناسی ارشد



با تاییدات خداوند متعال جلسه دفاع از پایان نامه تحصیلی کارشناسی ارشد خانم / آقای مهندس شهابی چشم
موسسه

به شماره دانشجویی : ۹۱۱۳۱۲۷۰۰۶ رشته: شیمی گرایش: شیمی فیزیک دانشکده: علوم
تحت عنوان: بررسی جذب گاز فسیل بر روی نانو لوله های آلومینیوم لیترید

به ارزش: واحد درساعت ۱۲ روز: دوشنبه مورخ: ۹۳/۶/۲۴

با حضور اعضای محترم جلسه دفاع و نماینده تحصیلات تکمیلی به شرح ذیل تشکیل گردید:

امضاء	رتبه علمی	نام و نام خانوادگی	سمت
	دانشیار	دکتر حیدر ریسی	استاد راهنمای اول
			استاد راهنمای دوم
		دکتر فربنا ملایا	استاد مشاور اول
			استاد مشاور دوم
	دانشیار	دکتر حسین فرسی	دادور اول
	استادیار	دکتر علی نیک اختر	دادور دوم
	هزینی	مهندس احمد حاجی زاده	نماینده تحصیلات تکمیلی

نتیجه ارزیابی دفاع که منوط به ارائه اصلاحات پیشنهادی توسط هیئت داوران خداکثرا طرف مدت یکماه

پس از تاریخ دفاع می باشد، به شرح زیر مورد تایید قرار گرفت:

- ۱- قبول (با درجه و امتیاز:) ، دفاع مجدد
۲- عالی (۱۹-۲۰) ۳- بسیار خوب (۱۸-۱۸/۹۹) ۴- قابل قبول (۱۷/۹۹-۱۶-۱۵/۹۹)

(بدیهی است عوقب آموزشی ناشی از عدم ارائه به موقع اصلاحات مذبور به عهده دانشجو می باشد)

کلیه مزایا اعم از چاپ، تکثیر، نسخه برداری ، ترجمه، اقتباس و ... از پایان نامه کارشناسی ارشد برای دانشگاه بیرجند محفوظ است. نقل مطلب با ذکر منبع بلامانع است.

تقدیم به مهربان فرشتگانی که:

لحظات ناب باور بودن، لذت و غرور دانستن، جسارت خواستن،
عظمت رسیدن و تمام تجربه های یکتا و زیبای زندگیم، مدیون حضور
سبز آنهاست

تقدیم به خانواده عزیزم.

از پدر و مادر عزیزم... این دو معلم بزرگوارم... که همواره بر کوتاهی و درشتی من، قلم عفو کشیده و کریمانه از کنار غفلت هایم گذشته اند و در تمام عرصه های زندگی یار و یاوری بی چشم داشت برای من بوده اند؛

از همسفران مهربان زندگیم خواهرا نم و برادرم
که با هم آغاز کردیم ، در کنار هم آموختیم و به امید هم به آینده چشم می
دوزیم. قلبم لبریز از عشق به شماست و خوشبختی تان منتهای آرزویم؛

از استاد با کمالات و شایسته؛ جناب آقای دکتر رئیسی که در کمال سعه
صدر، با حسن خلق و فروتنی، از هیچ کمکی در این عرصه بر من دریغ ننمودند
و زحمت راهنمایی این رساله را بر عهده گرفتند؛

از استاد مشاور محترم سرکارخانم ملانیا، بابت راهنمایی های صمیمانه
ایشان؛

از اساتید محترم جناب آقای دکتر حسین فرسی و دکتر علی نیک اختر که
زحمت داوری این رساله را متقبل شدند؛

از جناب آقای مهندس حاجی زاده که به عنوان نماینده تحصیلات تکمیلی در
جلسه دفاعیه حضور داشتند سپاسگزارم.

و با تشکر خالصانه خدمت همه کسانی که به نوعی مرا در به انجام رساندن
این مهم یاری نموده اند.

بررسی جذب گاز فسژن بر روی نانولوله‌های آلومینیوم نیترید

به وسیله‌ی:

مهندز شهابی چشم‌هه موسی

چکیده:

محاسبات نظری تابعی چگالی (DFT) مربوط به ۱۹ آرایش ممکن جذب فسژن بر روی نانولوله آلومینیوم نیترید گزارش شده است. این محاسبات برای تمامی آرایش‌های مذکور در سطح $B3LYP/6-31G^*$ و در فاز گاز انجام گردیده است. فرکانس‌های ارتعاشی نوسانگ هماهنگ نیز در همین سطح به منظور تأیید ماهیت نقاط ایستا و همچنین برای تصحیح انرژی نقطه صفر (ZPVE) تخمین زده شده‌اند. نظریه اتم‌ها در مولکول‌های بادر برای بررسی نقاط بحرانی و مطالعه ماهیت پیوند برهمنکش بین مولکولی در این سیستم‌ها استفاده شده است. همچنین، برای فهم بهتر ماهیت برهمنکش بین مولکولی، بررسی‌های اوربیتال پیوندی طبیعی (NBO) صورت گرفت. محاسبات بالاترین اوربیتال مولکولی اشغال شده (HOMO) و پایین‌ترین اوربیتال مولکولی اشغال نشده (LUMO) با فاصله اوربیتال‌های جبهه‌ای موجوداند. علاوه، پارامترهای NMR، پارامترهای ترمودینامیکی، فرکانس گروه کربونیل آرایش‌های مختلف در همان سطح انجام گردید. اطلاعات نظری در مورد شکل، توزیع دانسیته الکترونی و موقعیت‌های واکنش پذیر شیمیایی مولکول فسژن، نانولوله و پایدارترین سیستم به وسیله ترسیم سطح دانسیته الکترواستاتیکی مولکول (MEP) بدست آمد. دانسیته حالتها و اوربیتال مولکولی سیستم‌های فسژن-نانولوله، برای فهم تغییرات الکترونی ساختاری، هدایت الکتریکی و انرژی اتصال در طی فرآیند جذب مورد بررسی قرار گرفت. در ادامه به منظور بررسی ویژگی‌ها و رفتار اتم‌های فلزی داپ شده بر جذب مولکول فسژن بر روی نانولوله آلومینیوم نیترید در پایدارترین آرایش، اتم آلومینیوم در بالای نانولوله آلومینیوم نیترید با اتم‌های گالیم و اسکاندیم جایگزین شد و ساختار آرایش‌های داپ شده بهینه گردید. سپس انرژی جذبی، پارامترهای ترمودینامیکی، ساختار مولکولی، ساختار مولکولی آرایش‌های داپ شده با استفاده از روش B3LYP با سطح پایه $6-31G^*$ در فاز گاز مورد مطالعه قرار گرفت. ویژگی‌های توپولوژیکی توزیع دانسیته الکترونی برای برهمنکش‌های بین مولکولی $O...Ga/Sc$ بر حسب نظریه بادر اتم‌ها در مولکول‌ها (AIM) مورد ارزیابی قرار گرفت. روش اوربیتال پیوندی طبیعی (NBO)، پارامترهای NMR، همچنین فرکانس‌های $\nu_{C=O}$ مدل‌های داپ شده در سطح $B3LYP/6-31G^*$ به منظور استخراج برهمنکش‌های پیوند بین مولکولی، محاسبه شدند.

واژگان کلیدی: نانولوله آلومینیوم نیترید، جذب گاز، روش تابعی چگالی، اوربیتال طبیعی پیوندی، نظریه اتم‌ها در مولکول‌های بادر

فهرست مطالب

عنوان	صفحه
فصل اول : فناوری نانو و نانوحسگرها	
۱-۱ مقدمه.....۱	۲.....
۱-۱-۱ تاریخچه نانو در جهان	۲.....
۱-۱-۲ ماهیت کوانتومی دنیای نانو	۳.....
۱-۲-۱ کامپیوترهای کوانتومی	۴.....
۱-۲-۲ محاسبات کوانتومی	۴.....
۱-۳-۱ حسگرها	۶.....
۱-۳-۲ خصوصیات حسگرها	۷.....
۱-۳-۳ انواع نانوحسگرها	۷.....
۱-۲-۳-۱ استفاده از نقاط کوانتومی در تولید نانوحسگرها	۸.....

۸	۱-۲-۳-۲ استفاده از نانولوله‌ها در تولید نانوحسگرها
۹	۱-۳-۲-۳-۳ استفاده از نانوابزارها در تولید نانوحسگرها
۹	۱-۳-۳ طراحی محاسباتی
۹	۱-۴-۳ نانوحسگرها و کنترل آلودگی هوا
۱۰	۱-۵-۳ جذابیت‌های نانوحسگرها
۱۱	۱-۴ نانولوله‌های کربنی
۱۲	۱-۵ نانولوله آلمینیوم نیترید
۱۳	۱-۵-۱ بررسی نظری نانولوله‌های آلمینیوم نیترید
۱۴	۱-۵-۲ ساخت
۱۴	۱-۵-۳ کاربردها
۱۴	۱-۶ گاز فسشن

فصل دوم : شیمی محاسباتی

۱۷	۱-۲ مقدمه
۱۷	۲-۲ دلایل ظهر مکانیک کوانتمی
۱۸	۲-۲-۱ زمینه ظهر مکانیک کوانتمی
۱۸	۲-۲-۲ حوزه عمل مکانیک کوانتمی

۱۹	۳-۲-۲ دیدگاه اینشتین نسبت به مکانیک کوانتومی
۱۹	۳-۲ اصل عدم قطعیت هایزنبرگ
۲۰	۴-۲ معادله موجی شرودینگر
۲۱	۴-۲ توجیه معادله شرودینگر
۲۱	۴-۲ توجیه معادله شرودینگر در حالت کلی
۲۳	۴-۲ کاربرد معادله شرودینگر
۲۳	۵-۲ انواع روش‌های محاسباتی
۲۳	۶-۲ روش‌های سری آغازین
۲۴	۶-۲ تقریب بورن-اپنهایمر
۲۵	۶-۲ سری‌های پایه
۲۵	۶-۲ سری پایه ظرفیتی شکافته
۲۶	۶-۲ مجموعه پایه همبستگی سازگار
۲۶	۶-۲ سری پایه زتایی-دوتایی
۲۷	۶-۲ سری پایه قطبیده
۲۷	۶-۲ سری پایه کمینه
۲۸	۶-۲ سری پایه پخش شده
۲۸	۶-۲ سری پایه اندازه حرکت زاویه‌ای بالا

۲۹	۳-۶ همبستگی الکترون	۲
۲۹	روش‌های نیمه تجربی	۷-۲
۳۰	روش هوکل	۱-۷-۲
۳۱	روش هوکل توسعه یافته	۲-۷-۲
۳۱	PPP روش	۳-۷-۲
۳۱	CNDO روش	۴-۷-۲
۳۲	MINDO روش	۵-۷-۲
۳۲	INDO روش	۶-۷-۲
۳۳	ZINDO روش	۷-۷-۲
۳۳	AM1 روش	۸-۷-۲
۳۳	نظریه تابعی چگالی	۸-۲
۳۵	تئوری اتم‌ها در مولکول‌ها	۹-۲
۳۸	نظریه اوربیتال پیوندی طبیعی (NBO)	۱۰-۲
۳۹	محاسبه انرژی اختلال مرتبه دوم با NBO	۱۰-۲
۳۹	اطلاعات حاصل از NBO	۱۰-۲
۴۰	ثابت‌های پوشیدگی رزونانس مغناطیسی هسته (NMR)	۱۱-۲

فصل سوم: بررسی اثر جذب گاز فسژن بر روی نانولوله آلومینیوم نیترید

۴۲	۱-۳ مقدمه
۴۳	۲-۳ روش محاسبات
۴۴	۳-۳ بررسی اثر جذب گاز فسژن بر روی ساختار مولکولی، دانسیته الکترونی و قدرت برهمنکش بین گازفسژن و نانولوله آلومینیوم نیترید در فاز گازی
۴۵	۱-۳-۳ بررسی پارامترهای ساختاری صورت بندی های مختلف مولکول فسژن جذب شده بر سطح نانولوله آلومینیوم نیترید
۵۴	۲-۳-۳ ممان دوقطبی
۵۴	۳-۳-۳ تجزیه و تحلیل نظریه اتم ها در مولکول های بادر
۵۷	۳-۳-۴ تجزیه و تحلیل NBO
۵۷	۳-۴ اوربیتال های مولکولی جبهه ای
۶۰	۳-۴-۱ پتانسیل الکترواستاتیکی مولکولی (MEP)
۶۲	۳-۴-۲ دانسیته حالتها (DOS)
۶۶	۳-۵ بررسی رزونانس مغناطیسی هسته

فصل چهارم : مطالعه اثر داپ کردن اتم های آلومینیوم سطح نانولوله بر قدرت برهمنکش بین گاز فسژن و نانولوله آلومینیوم نیترید داپ شده

۶۹	۱-۴ مقدمه
۷۰	۲-۴ روش محاسبات
۷۱	۳-۴ بررسی اثر داپ کردن اتم های فلزی بر روی ساختار مولکولی، دانسیته الکترونی و قدرت برهمنکش بین گاز فسژن و نانولوله آلومینیوم نیترید داپ شده
۷۲	۱-۳-۴ تجزیه و تحلیل پارامترهای ساختاری
۷۴	۲-۳-۴ تجزیه و تحلیل AIM
۷۵	۳-۳-۴ تجزیه و تحلیل NBO
۷۵	۴-۴ اوربیتال های مولکولی جبهه ای
۷۸	۱-۴-۴ پتانسیل الکترواستاتیکی صورت بندی های داپ شده
۷۹	۲-۴-۴ تجزیه و تحلیل نمودارهای دانسیته الکترونی حالت های صورت بندی های داپ شده
۸۰	۴-۵ بررسی رزونانس مغناطیسی هسته
۸۱	نتیجه گیری
۸۳	پیشنهاد برای کار آینده
۸۴	پیوست جداول
۱۴۴	مراجع

فهرست جدول‌ها

عنوان	صفحه
جدول ۳-۱: پارامترهای ساختاری و توپولوژیکی نانولوله زیگراگی آلومینیوم نیترید (۶۰) و گاز فسژن... ۸۵	
جدول ۳-۲: پارامترهای ساختاری در آرایش‌های اکسیژن-پایین ۸۶	
جدول ۳-۳: پارامترهای ساختاری در آرایش‌های کلر-پایین ۸۷	
جدول ۳-۴: فرکانس کششی (cm^{-1}), ممان دایپل (DM) بر حسب Deby، انرژی جذبی مولکول فسژن و مقادیر محاسبه شده ΔH , ΔG و $T\Delta S$ آرایش‌های مورد مطالعه بر حسب KJ/mol ۸۸	
جدول ۳-۵: پارامترهای ساختاری و توپولوژیکی در برهمکنش بین مولکولی تمامی آرایش‌ها ۸۹	
جدول ۳-۶: پارامترهای توپولوژیکی مربوط به آرایش‌های اکسیژن-پایین ۹۰	
جدول ۳-۷: پارامترهای توپولوژیکی مربوط به آرایش‌های کلر-پایین ۹۳	
جدول ۳-۸: بررسی مقادیر انرژی و عدد اشغال و انتقالات الکترونی مهم آرایش‌ها ۹۵	
جدول ۳-۹: مقادیر انرژی و عدد اشغال و انتقالات الکترونی مهم برای آرایش شماره ۱ ۹۶	
جدول ۳-۱۰: مقادیر انرژی و عدد اشغال و انتقالات الکترونی مهم برای آرایش شماره ۲ ۹۸	

جدول ۳-۱۱: مقادیر انرژی و عدد اشغال و انتقالات الکترونی مهم برای آرایش شماره ۳	۱۰۰
جدول ۳-۱۲: مقادیر انرژی و عدد اشغال و انتقالات الکترونی مهم برای آرایش شماره ۴	۱۰۲
جدول ۳-۱۳: مقادیر انرژی و عدد اشغال و انتقالات الکترونی مهم برای آرایش شماره ۵	۱۰۴
جدول ۳-۱۴: مقادیر انرژی و عدد اشغال و انتقالات الکترونی مهم برای آرایش شماره ۶	۱۰۶
جدول ۳-۱۵: مقادیر انرژی و عدد اشغال و انتقالات الکترونی مهم برای آرایش شماره ۷	۱۰۸
جدول ۳-۱۶: مقادیر انرژی و عدد اشغال و انتقالات الکترونی مهم برای آرایش شماره ۸	۱۱۰
جدول ۳-۱۷: مقادیر انرژی و عدد اشغال و انتقالات الکترونی مهم برای آرایش شماره ۹	۱۱۲
جدول ۳-۱۸: مقادیر انرژی و عدد اشغال و انتقالات الکترونی مهم برای آرایش شماره ۱۰	۱۱۴
جدول ۳-۱۹: مقادیر انرژی و عدد اشغال و انتقالات الکترونی مهم برای آرایش شماره ۱۱	۱۱۶
جدول ۳-۲۰: مقادیر انرژی و عدد اشغال و انتقالات الکترونی مهم برای آرایش شماره ۱۲	۱۱۸
جدول ۳-۲۱: مقادیر انرژی و عدد اشغال و انتقالات الکترونی مهم برای آرایش شماره ۱۳	۱۲۱
جدول ۳-۲۲: مقادیر انرژی و عدد اشغال و انتقالات الکترونی مهم برای آرایش شماره ۱۴	۱۲۳
جدول ۳-۲۳: مقادیر انرژی و عدد اشغال و انتقالات الکترونی مهم برای آرایش شماره ۱۵	۱۲۵
جدول ۳-۲۴: مقادیر انرژی و عدد اشغال و انتقالات الکترونی مهم برای آرایش شماره ۱۶	۱۲۷
جدول ۳-۲۵: مقادیر انرژی و عدد اشغال و انتقالات الکترونی مهم برای آرایش شماره ۱۷	۱۲۹
جدول ۳-۲۶: مقادیر انرژی و عدد اشغال و انتقالات الکترونی مهم برای آرایش شماره ۱۸	۱۳۱
جدول ۳-۲۷: مقادیر انرژی و عدد اشغال و انتقالات الکترونی مهم برای آرایش شماره ۱۹	۱۳۳

جدول ۳-۲۸: انرژی‌های مربوط به بالاترین سطح اشغال شده و پایین‌ترین سطح اشغال نشده (برحسب eV) ، شکاف انرژی ΔE_{H-L} (برحسب eV)، مقادیر سختی شیمیایی و پتانسیل شیمیایی برحسب eV برای آرایش‌های مورد مطالعه . ۱۳۵

جدول ۳-۲۹: مقادیر ایزوتروپی و آنیزوتروپی (ppm) موقعیت‌های جذبی در آرایش‌های مورد مطالعه و نانولوله مجزا ۱۳۶

جدول ۴-۱: پارامترهای ساختاری و توپولوژیکی نانولوله‌های داپ شده با اتم گالیم و اسکاندیم ۱۳۷

جدول ۴-۲: پارامترهای ساختاری و توپولوژیکی نانولوله‌های داپ شده با اتم گالیم و اسکاندیم در حضور مولکول فسفن ۱۳۸

جدول ۴-۳: پارامترهای ترمودینامیکی و انرژی جذبی (kJ/mol) ، انرژی بالاترین اوربیتال مولکولی اشغال شده، پایین‌ترین اوربیتال مولکولی اشغال نشده و فاصله بین اوربیتال‌های مولکولی جبهه‌ای(eV) ، سختی شیمیایی (eV)، پتانسیل شیمیایی(cm^{-1}), فرکانس کششی(Deby)، مقادیر انرژی (Kcal/mol) و عدد اشغال و انتقالات الکترونی مهم برای آرایش‌های داپ شده با اتم گالیم و اسکاندیم ۱۳۹

جدول ۴-۴: فاصله(Å) و نوع برهمکنش بین مولکولی، پارامترهای توپولوژیکی برهمکنش بین مولکولی (a.u) برای آرایش‌های داپ شده با اتم‌های گالیم و اسکاندیم ۱۴۰

جدول ۴-۵: مقادیر ایزوتروپی و آنیزوتروپی (ppm) موقعیت‌های جذبی در آرایش‌های داپ شده و نانولوله داپ شده مجزا ۱۴۰

جدول ۴-۶: مقادیر انرژی و عدد اشغال و انتقالات الکترونی مهم برای آرایش داپ شده با اتم گالیم ۱۴۱

جدول ۷-۴: مقدار انرژی و عدد اشغال و انتقالات الکترونی مهم برای آرایش داپ شده با اتم

۱۴۳ اسکاندیم

فهرست شکل ها

صفحه	عنوان
۲۶	شکل ۲-۱: اوربیتال‌های ظرفیتی-شکافتی
۳۷	شکل ۲-۲: نقشه کانتوری دانسیته الکترونی در مولکول BF_3
۳۸	شکل ۲-۳: گراف مولکولی (a) cubane و (b) 4-methyl-1,12-difluoro[4]helicene
۴۳	شکل ۳-۱: ساختارهای بهینه شده مولکول فسژن و نانولوله آلومینیوم نیترید
۴۸	شکل ۳-۲: نمایش ساختارهای اولیه آرایش‌های مورد مطالعه
۵۰	شکل ۳-۳: ساختارهای بهینه شده آرایش‌های مورد بررسی
۵۲	شکل ۳-۴: نمودار E_{ads} برحسب فاصله برهمکنش بین مولکولی
۵۶	شکل ۳-۵: نمودار E_{ads} برحسب ویژگی‌های نقطه بحرانی برهمکنش بین مولکولی
۵۶	شکل ۳-۶: نمودار $\rho_{\text{interaction}}$ برحسب فاصله برهمکنش بین مولکولی
۵۹	شکل ۳-۷: نمودار اوربیتال مولکولی مولکول فسژن، نانولوله آلومینیوم نیترید مجزا و پایدارترین آرایش موردمطالعه

- شکل ۳-۸: پتانسیل الکترواستاتیکی نانولوله مجزا و مولکول فسژن ۶۱
- شکل ۳-۹: پتانسیل الکترواستاتیکی پایدارترین آرایش مورد بررسی ۶۲
- شکل ۳-۱۰: نمودارهای دانسیته الکترونی حالت‌های نانولوله آلومینیوم نیترید مجزا و مولکول فسژن ۶۲
- شکل ۳-۱۱: نمودارهای دانسیته الکترونی حالت‌های آرایش‌های مورد مطالعه ۶۶
- شکل ۴-۱: ساختار بهینه شده نانولوله‌های آلومینیوم نیترید داپ شده با اتم‌های اسکاندیم و گالیم ۷۲
- شکل ۴-۲: ساختار‌های بهینه شده آرایش‌های داپ شده با اتم‌های گالیم و اسکاندیم ۷۳
- شکل ۴-۳: نمودار اوربیتال مولکولی نانولوله آلومینیوم نیترید داپ شده با اتم اسکاندیم ۷۶
- شکل ۴-۴: نمودار اوربیتال مولکولی نانولوله آلومینیوم نیترید داپ شده با اتم گالیم ۷۶
- شکل ۴-۵: نمودار اوربیتال مولکولی آرایش داپ شده با اتم اسکاندیم ۷۷
- شکل ۴-۶: نمودار اوربیتال مولکولی آرایش داپ شده با اتم گالیم ۷۷
- شکل ۴-۷: پتانسیل الکترواستاتیکی نانولوله و آرایش داپ شده با اتم اسکاندیم ۷۸
- شکل ۴-۸: پتانسیل الکترواستاتیکی نانولوله و آرایش داپ شده با اتم گالیم ۷۸
- شکل ۴-۹: نمودارهای دانسیته الکترونی حالت‌های آرایش‌های داپ شده با اتم‌های اسکاندیم و گالیم ۷۹

فهرست نشانه های اختصاری:

AINNT	نanolوله آلومینیوم نیترید
AIM	اتم در مولکول
DFT	نظریه تابعی چگال
$E^{(2)}$	انرژی اختلال مرتبه دوم
NBO	اوربیتال طبیعی پیوندی
O.N.	عدد اشغال
COCl_2	مولکول فسژن
$r_{\text{interaction}}$	فاصله برهمنکنش بین مولکول
E_{ads}	انرژی جذبی
DOS	دانسیته حالتها
MEP	پتانسیل الکترواستاتیکی مولکولی